

СИБИРСКОЕ ОТДЕЛЕНИЕ АН СССР²⁴
ИНСТИТУТ ЯДЕРНОЙ ФИЗИКИ

В.В.Вечеславов

ПРИБЛИЖЕННОЕ ПРЕДСТАВЛЕНИЕ
ПОТЕНЦИАЛА ВСТРЕЧНОГО
ВЗАИМОДЕЙСТВИЯ ЭЛЛИПТИЧЕСКИХ
ПУЧКОВ

ПРЕПРИНТ 80-72



Новосибирск

ПРИБЛИЖЕННОЕ ПРЕДСТАВЛЕНИЕ ПОТЕНЦИАЛА
ВСТРЕЧНОГО ВЗАИМОДЕЙСТВИЯ ЭЛЛИПТИЧЕСКИХ
ПУЧКОВ

В.В.Вечеславов

А Н Н О Т А Ц И Я

Рассмотрено взаимодействие точечного заряда с коротким встречным сгустком частиц. Распределение плотности заряда сгустка в поперечной к направлению движения плоскости $\{x, z\}$ принято бигауссовым со среднеквадратичными размерами b_x и b_z соответственно. Для пучков с умеренной эллиптичностью $1 \leq b_x/b_z \leq 5$ предложено достаточно простое приближенное представление потенциала взаимодействия, использование которого может облегчить численное и аналитическое изучение эффектов встречи. Проведено сравнение точных и приближенных соотношений по результатам, даваемым ими при решении конкретной динамической задачи.

АЛАНШНЭТОН ЭПИЗОДЫ ИЗ ВОЕННОЙ И ЧАСТО ПРИЧАСТИЕ К ВОЕННОМУ ДЕЯНИЮ

ПРИБЛИЖЕННОЕ ПРЕДСТАВЛЕНИЕ ПОТЕНЦИАЛА
ВСТРЕЧНОГО ВЗАИМОДЕЙСТВИЯ ЭЛЛИПТИЧЕСКИХ
ПУЧКОВ

1. Экспериментальному и теоретическому изучению эффектов электромагнитного взаимодействия заряженных частиц в установках со встречными пучками уделяется в последнее время большое внимание [1]. В программе исследований, направленной на выяснение деталей нелинейной динамики этого взаимодействия и выработку практических рекомендаций в отношении существующих и особенно проектируемых накопителей весьма заметная роль принадлежит численному моделированию. Здесь уже проделана определенная работа, но основная доля добытой информации относится к одномерному движению и круглому пучку [3,4]. Можно сказать, что изучение более реалистичной, но и существенно более сложной двумерной эллиптической модели только начинается. Необходимость прослеживать фазовые траектории многих частиц на протяжении очень большого числа взаимодействий является принципиальной особенностью анализа обсуждаемых явлений и громоздкое, непрозрачное математическое оформление эллиптической модели [1,2] сильно затрудняет этот анализ.

В настоящей работе делается попытка получить достаточно простое и вместе с тем относительно правильное приближенное представление потенциала встречного взаимодействия, пригодное для пучков с бигауссовым распределением заряда и умеренной эллиптичностью. Сопоставление результатов решений и времен счета при использовании "точных" и приближенных соотношений проведено на конкретном примере.

2. Рассмотрим взаимодействие точечного заряда со встречным сгустком частиц длиной L (рис.1). Распределение полного заряда Q по объему сгустка описывается зависимостью $\rho(s, \bar{x}, \bar{z}) = (Q/L) \cdot \rho_0(s, \bar{x}, \bar{z})$, скорости \vec{v}_i всех частиц в сгустке постоянны, одинаковы

и направлены вдоль оси S . Считаем, что допустимо приближение тонкой линзы: взаимодействие изменяет поперечные импульсы точечного заряда и не затрагивает его координаты x, z .

С помощью соотношений Лиенара-Вихерта [5] найдем созданное сгустком Q поле \vec{E}, \vec{B} и получим выражения для импульсов поперечных сил, переданных заряду q ($t=0$ соответствует моменту пролета Q мимо центра Q):

$$F_x = q \int_{-\infty}^{\infty} (E_x + v_2 \cdot B_z) \cdot dt = \frac{qQ\gamma_1}{4\pi\epsilon_0 L} \cdot (1 + \beta_1 \beta_2) \cdot \int_{-\infty}^{\infty} (x - \bar{x}) \cdot \\ \times \frac{\rho_o(\bar{s}, \bar{x}, \bar{z}) \cdot d\bar{s} \cdot d\bar{x} \cdot d\bar{z} \cdot dt}{[(x - \bar{x})^2 + (z - \bar{z})^2 + \gamma_1^2 \cdot (t - (v_1 + v_2) + \bar{s})^2]^{3/2}} = \\ = \frac{qQ}{2\pi\epsilon_0 L} \cdot \frac{1 + \beta_1 \beta_2}{v_1 + v_2} \cdot \int_{-\infty}^{\infty} (x - \bar{x}) \cdot \rho_o(\bar{s}, \bar{x}, \bar{z}) \cdot d\bar{s} \cdot d\bar{x} \cdot d\bar{z}, \quad (1)$$

$$F_z = \frac{qQ}{2\pi\epsilon_0 L} \cdot \frac{1 + \beta_1 \beta_2}{v_1 + v_2} \cdot \int_{-\infty}^{\infty} (z - \bar{z}) \cdot \rho_o(\bar{s}, \bar{x}, \bar{z}) \cdot d\bar{s} \cdot d\bar{x} \cdot d\bar{z}. \quad (2)$$

Для дальнейшего необходимо конкретизировать зависимость ρ_o и мы примем правдоподобное в ряде случаев предположение о бигауссовом поперечном распределении заряда [1,2]:

$$\rho_o(\bar{s}, \bar{x}, \bar{z}) = \frac{1}{2\pi\tilde{b}_x\tilde{b}_z} \cdot \exp\left(-\frac{\bar{x}^2}{2\tilde{b}_x^2} - \frac{\bar{z}^2}{2\tilde{b}_z^2}\right), \quad (3)$$

где

$$\tilde{b}_x(\bar{s}) = \sqrt{\langle \bar{x}^2(\bar{s}) \rangle}, \quad \tilde{b}_z(\bar{s}) = \sqrt{\langle \bar{z}^2(\bar{s}) \rangle}.$$

Используя (3) и полагая для упрощения дальнейших формул $v_1 = v_2 \approx c$, находим:

$$F_{x,z}(x, z) = \frac{qQ}{4\pi^2\epsilon_0 c \tilde{b}_x \tilde{b}_z} \cdot \int_{-\infty}^{\infty} (x - \bar{x}) \cdot \\ \times \exp\left(-\frac{\bar{x}^2}{2\tilde{b}_x^2} - \frac{\bar{z}^2}{2\tilde{b}_z^2}\right) \cdot \frac{d\bar{x} \cdot d\bar{z}}{(x - \bar{x})^2 + (z - \bar{z})^2}. \quad (4)$$

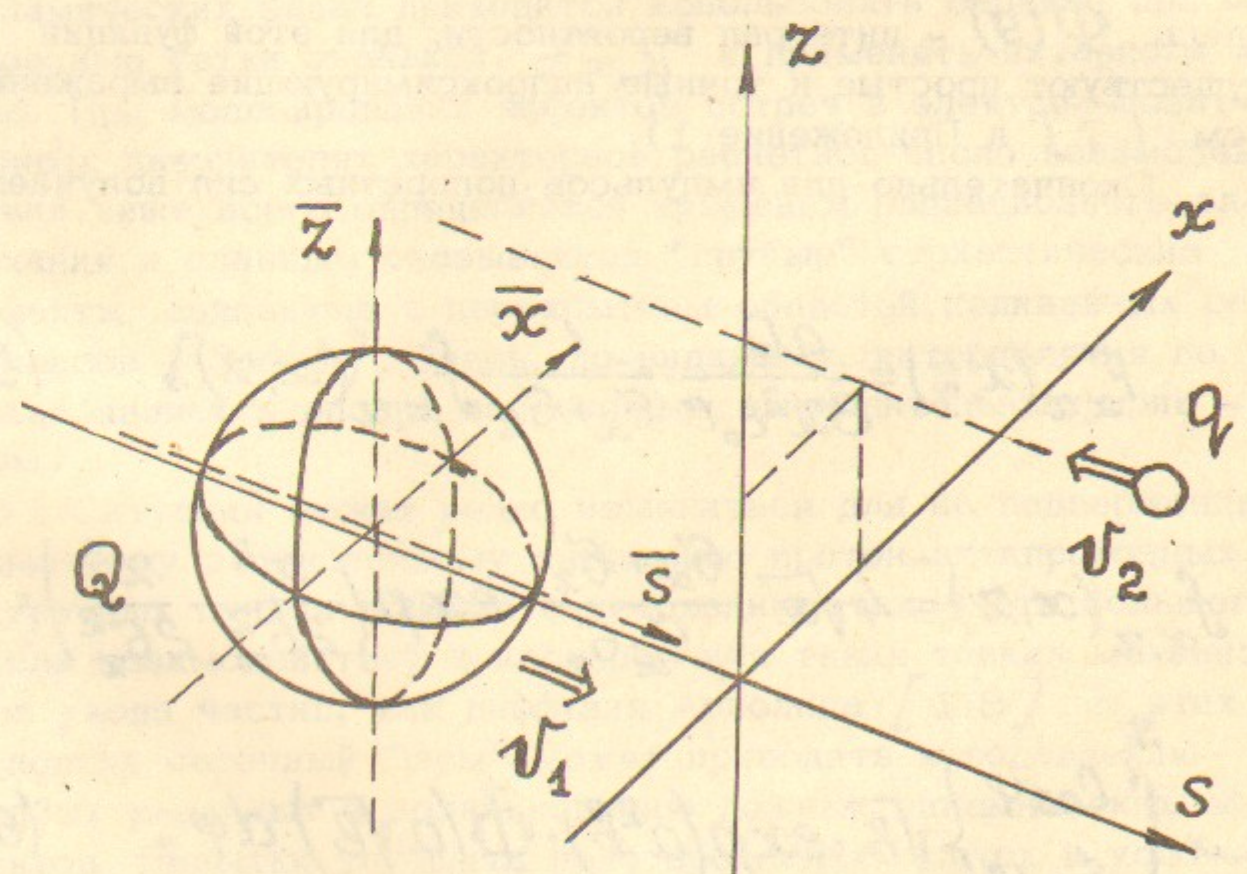


Рис.1.

Заметим, что длина сгустка L не вошла в выражение (4) вследствие предположения о постоянстве координат x, z заряда q в процессе взаимодействия, "эффективное время" которого допускает следующую оценку:

$$\Delta t_{eff} \approx \sqrt{x^2 + z^2 + (\gamma L/2)^2} / \gamma c$$

Это соотношение полезно при проверке правомерности приближения тонкой линзы.

Двумерные интегралы (4) можно свести к одномерным, если ввести в поперечном пространстве $\{\bar{x}, \bar{z}\}$ полярные координаты r, φ с центром в точке $\bar{x} = x, \bar{z} = z$ и использовать равенство [6]:

$$\int_0^\infty \exp\left(-\frac{y^2}{4d} - cy\right) dy = \sqrt{\pi d} \cdot \exp(c^2 d) \cdot [1 - \Phi(c\sqrt{d})]$$

здесь $\Phi(y)$ – интеграл вероятности; для этой функции существуют простые и точные аппроксимирующие выражения (см. [7] и Приложение 1).

Окончательно для импульсов поперечных сил получаем:

$$F_{x,z}(x,z) = \frac{qQ}{8\pi^2 \epsilon_0 c} \cdot \frac{1}{6_x + 6_z} \cdot f_{x,z}(x,z), \quad (5)$$

$$f_{x,z}(x,z) = 4\sqrt{\pi} \cdot \frac{6_x + 6_z}{6_x \cdot 6_z} \cdot \exp\left(-\frac{x^2}{26_x^2} - \frac{z^2}{26_z^2}\right) \times$$

$$x \int_0^{\pi} \begin{cases} \cos \varphi \\ \sin \varphi \end{cases} \left\{ \sqrt{B} \cdot \exp(a^2 B) \cdot \Phi(a \cdot \sqrt{B}) \cdot d\varphi \right\}, \quad (6)$$

$$a(\varphi) = \frac{x}{6_x^2} \cdot \cos \varphi + \frac{z}{6_z^2} \cdot \sin \varphi,$$

$$b(\varphi) = \frac{1}{2} \cdot \frac{6_x^2}{\cos^2 \varphi + (6_x/6_z)^2 \cdot \sin^2 \varphi}.$$

Появление в (5), (6) содержащих $(6_x + 6_z)$ множителей обусловлено желанием придать ряду используемых ниже соотношений общепринятый вид.

3. В Приложении 1 рассмотрены круглый $6_x = 6_z$ и ленточный $6_x \rightarrow \infty$ пучки, для которых формулы (6) существенно упрощаются. В остальных случаях при решении динамических задач приходится использовать заранее построенные сетки значений $f_{x,z}$ и применять интерполяцию. При моделировании эффектов встреч в электрон-позитронных накопителях характерное расчетное число взаимодействий чаще всего определяется временем радиационного затухания и главным оказываются "грубые" стохастические эффекты, связанные с перекрытием областей нелинейных резонансов [3, 4, 8]. Здесь, по-видимому, интерполяция по сетке является вполне допустимым вычислительным приемом.

Ситуация может резко измениться для не подверженных заметному радиационному затуханию протон-антинпротонных встречных пучков в связи с необходимостью учета большого числа взаимодействий и исследования таких тонких механизмов ухода частиц, как диффузия Арнольда [1, 8]. В этих условиях сеточный "шум" может приводить к подавлению слабых реальных и возникновению ложных динамических эффектов. Попытки улучшить дело дроблением сеток и усложнением интерполяционных схем заметно замедляют счет. Кроме того, описание взаимодействия сложными и непрозрачными формулами типа (6) сильно затрудняет любые аналитические подходы.

По этим соображениям желательно попытаться построить аппроксимирующие интегралы (6) выражения, к которым необходимо предъявить следующие требования: 1) приближенные силы должны иметь точный потенциал – это качество, связанное с гамильтоновостью динамики, терять нельзя; 2) должны быть правильно описаны ближняя $x, z \ll 1$ и дальняя $x, z \gg 1$ асимптотики взаимодействий; 3) непосредственно участвующие в вычислениях выражения должны быть максимально просты. С другой стороны, наличие многих неучтенных или грубо учитываемых факторов при численном моделировании встречных взаимодействий в реальных накопителях позволяет не стремиться к очень хорошему совпадению "точных" (найденных по формулам (6)) и приближенных значений $f_{x,z}$. Этим требованиям для интервала $1 \leq \alpha = b_x/b_z \leq 5$ в достаточной мере, как нам кажется, удовлетворяют следующие выражения:

$$f_x = \frac{4\pi x}{b_x} \left\{ \frac{1}{1 + \left[\frac{x^2 + \alpha z^2}{2A b_x^2} \right]^2} + \frac{1}{1 + \frac{x^2 + z^2}{2G b_x^2}} - \frac{1}{1 + \left[\frac{x^2 + z^2}{2D b_x^2} \right]^2} \right\}, \quad (7)$$

$$f_z = \frac{4\pi z}{b_x} \left\{ \frac{\alpha}{1 + \left[\frac{x^2 + \alpha z^2}{2A b_x^2} \right]^2} + \frac{1}{1 + \frac{x^2 + z^2}{2G b_x^2}} - \frac{1}{1 + \left[\frac{x^2 + z^2}{2D b_x^2} \right]^2} \right\}, \quad (8)$$

$$\left. \begin{aligned} A(\alpha) &= 0.02438 \alpha^2 - 0.2723 \alpha + 1.398 \\ G(\alpha) &= (\alpha + 1)/2\alpha \end{aligned} \right\} \quad (9)$$

$$D(\alpha) = 0.03763 \alpha^2 - 0.3701 \alpha + 1.159$$

Потенциал встречного взаимодействия имеет вид:

$$U = -4\pi b_x \cdot \left\{ A \cdot \arctg \frac{x^2 + \alpha z^2}{2A b_x^2} + G \cdot \ln \left(1 + \frac{x^2 + z^2}{2G b_x^2} \right) - D \cdot \arctg \frac{x^2 + z^2}{2D b_x^2} \right\}. \quad (10)$$

В правильности ближней асимптотики можно убедиться, сравнивая формулы (7), (8) при $x, z \ll 1$ с формулами (П1-3) Приложения 1. При $x, z \rightarrow \infty$ форма поперечного сечения пучка становится несущественной и все зависимости в этой области должны вырождаться в таковые для круглого пучка (П1-4), (П1-5) Приложения 1. Легко проверить, что в отношении введенных нами выражений (7) – (10) с учетом формулы (5) дело обстоит именно так.

Сопоставление "точных" и приближенных величин $f_{x,z}$ для ряда значений α проведено в Приложении II.

4. В этом разделе рассматривается конкретная динамическая задача с единственной целью – сравнить между собой результаты решений и времена счета, полученные при использовании "точных" и приближенных выражений для импульсов поперечных сил $f_{x,z}$.

Условимся все встречающиеся ниже функции продольной координаты S считать относящимися к месту встречи $S = S_0$ и штрихом обозначать производные по S . Положим $Q = -N \cdot e$, $q = e$ и введем фазовые переменные [3,4]:

$$X = x/b_x, P_x = x' \beta_x/b_x, Z = z/b_z, P_z = z' \beta_z/b_z, \quad (11)$$

где $\beta_{x,z}$ – амплитудные функции накопителя. Для упрощения дальнейших формул примем часто выполняющееся на практике условие $\beta'_x = \beta'_z = 0$ и тогда получим [9]:

$$\left. \begin{aligned} X &= A_x \cdot \cos \varphi_x, & P_x &= -A_x \cdot \sin \varphi_x, \\ Z &= A_z \cdot \cos \varphi_z, & P_z &= -A_z \cdot \sin \varphi_z. \end{aligned} \right\} \quad (12)$$

Соответствующая бигауссовскому закону (3) фазовая плотность записется в форме:

$$\rho_q(x, p_x, z, p_z) = \frac{1}{4\pi^2} \exp\left(-\frac{x^2 + p_x^2 + z^2 + p_z^2}{2}\right). \quad (13)$$

Невозмущенное движение имеет интеграл (Куранта-Снайдера) [9]:

$$W = \frac{1}{2} \cdot (x^2 + p_x^2 + z^2 + p_z^2) = \frac{1}{2} (A_x^2 + A_z^2). \quad (14)$$

Используя (12), (13), (14), нетрудно найти распределение плотностей в пространстве $\{A_x, A_z\}$ амплитуд бетатронных колебаний и как функцию интеграла W соответственно:

$$\rho_A(A_x, A_z) = A_x \cdot A_z \cdot \exp\left(-\frac{A_x^2 + A_z^2}{2}\right), \quad (15)$$

$$\rho_W(W) = W \cdot \exp(-W). \quad (16)$$

Из последнего выражения видно, что максимальная плотность заряда обеспечивается частицами, представляющими точки которых заполняют в фазовом пространстве сферу $W=1$.

Преобразование координат частиц между встречами осуществляется транспортной матрицей накопителя, а для одной встречи имеем:

$$\begin{aligned} X_2 &= X_1, \quad P_{x2} = P_{x1} - \xi_x \cdot f_x(X_1, Z_1), \\ Z_2 &= Z_1, \quad P_{z2} = P_{z1} - \xi_z \cdot f_z(X_1, Z_1), \end{aligned} \quad (17)$$

здесь $\xi_{x,z} = \frac{N \cdot r_e}{2\pi \gamma (\sigma_x + \sigma_z)} \cdot \frac{\beta_{x,z}}{\sigma_{x,z}}$ — параметры возмущения, $r_e = e^2 / (4\pi \epsilon_0 m c^2)$ — классический радиус электрона.

Будем считать, что до взаимодействия оба пучка "сильный" Q и "слабый" (представителем которого является точечный заряд q) имели распределение (13). Чаще всего интересуются пороговыми значениями $\xi_{x,z}^{CR}$ при которых возникает стохастическая неустойчивость попечного движения и заметная доля частиц слабого пучка покидает область эффективного взаимодействия [2,3,4]. Можно предположить, однако, что при любом, в том числе и заметно меньшем критическом возмущении $\xi < \xi^{CR}$ начальное распределение частиц слабого пучка не сохраняется. Взаимодействие разрушает, в частности, область максимальной плотности $W = 1$ и мы попытаемся на числовом примере составить представление о судьбе первоначально связанных с ней частиц.

В [3] рассматривалось двумерное движение на модели круглого $\sigma_x = \sigma_z$ пучка и определялся стохастический предел ξ^{CR} для электрон-позитронного накопителя, работающего около резонанса связи бетатронных колебаний

$v_x \approx v_z$. Мы рассмотрим близкую ситуацию, но для эллиптического пучка: $v_x = 3,0785$; $v_z = 3,0815$; $\sigma_x / \sigma_z = 2,5$; $\xi_x = \xi_z = 0,09$;

число мест встречи равно двум. Если к этому случаю применить описанную в [3] методику, то оказывается

$\xi^{CR} \approx 0,018$ и выбранные нами значения ξ_x, ξ_z составляют половину этой величины.

Численно изучалось поведение нескольких групп по 50 частиц в каждой, причем начальные значения координат частиц всегда выбирались на фазовой сфере (14) $W = 1$. Число встреч T изменялось от $2 \cdot 10^4$ до $2 \cdot 10^5$. В процессе счета для каждой частицы вычислялась по формуле (14) усредненная на отрезке $\Delta T = 5 \cdot 10^3$ или 10^4 величина

\overline{W} , что позволяло найти интервал $\overline{W}_L \leq \overline{W} \leq \overline{W}_R$ для всей группы. По распределению частиц внутри интервала $\Delta \overline{W}$ отыскивался его центр тяжести \overline{W}_c . Результаты для некоторых групп частиц представлены в таблице, где римские цифры показывают, каким из трех способов расчета (см.ниже) эти результаты получены.

В итоге взаимодействия вся начальная сфера

$W = 1$ оказалась в среднем по времени "размыта" на интервал $0,6 \leq \Delta W \leq 3,8$ причем в верхнюю его часть попали частицы с нулевыми начальными импульсами, а в нижнюю - с нулевыми начальными координатами (первая и четвертая группы частиц в таблице соответственно). Это обстоятельство (связанное с тем, что возмущение зависит лишь от координат, но не от импульсов) четко наблюдается также и в одномерных моделях [4]. В пределах рассмотренных нами чисел взаимодействий центры тяжести \bar{W}_c всех обследованных интервалов оказались достаточно стабильными, хотя в распределениях частиц и положении границ интервалов \bar{W}_L, \bar{W}_R наблюдались изменения. Так, для первой группы частиц при полном числе взаимодействий

$T = 2,1 \cdot 10^5$ с усреднением на отрезке $\Delta T = 10^4$ колебания величины \bar{W}_c составили менее 0,5%.

Группа номер	Начальное условие	$f_{x,z}$	\bar{W}_L	\bar{W}_R	W_c
1	$X_0 \neq 0, Z_0 \neq 0;$ $P_{x0} = P_{z0} = 0.$	1	2,03	3,83	3,18
		П	2,75	3,49	3,16
		Ш	2,76	3,46	3,19
П	$X_0 \neq 0, P_{x0} \neq 0,$ $Z_0 = P_{z0} = 0.$	1	0,63	2,76	1,95
		П	0,62	2,67	1,90
		Ш	0,62	2,67	1,90
Ш	$Z_0 \neq 0, P_{z0} \neq 0,$ $X_0 = P_{x0} = 0.$	1	0,59	2,76	1,67
		П	0,58	2,76	1,64
		Ш	0,58	2,76	1,65
1У	$P_{x0} \neq 0, P_{z0} \neq 0,$ $X_0 = Z_0 = 0.$	1	0,59	0,63	0,61
		П	0,57	0,63	0,60
		Ш	0,57	0,63	0,60

При всех расчетах величины импульсов сил $f_{x,z}$ определялись следующими тремя способами: 1) по приближенным формулам (7), (8); П) интерполяцией на построенных по "точным" формулам (6) сетках с числом узлов 10×10 на единичный квадрат плоскости $\{X, Z\}$; Ш) то же, что и в П, но с числом узлов 14×14 . В последних двух спосо-

бах применялась линейная интерполяция по четырем ближайшим узлам сетки. Сравнение величин центров тяжестей интервалов \bar{W}_c (последний столбец таблицы) обнаруживает практическую эквивалентность этих методик.

Вычисления проводились на ЭВМ БЭСМ-6, программы были написаны на языке ФОРТРАН. Расчет одного встречного взаимодействия по формуле (17) с использованием приближенных выражений (7), (8) занимал ~ 170 мксек; применение интерполяции по сеткам увеличивало это время до ~ 690 мксек.

Автор благодарен Ф.М.Израйлеву и Б.В.Чирикову за обсуждения и советы.

Приложение 1.

Частные случаи формулы (6)

При работе с формулой (6) полезны следующие два представления интеграла вероятности, взятые из [6] и [7] соответственно:

$$\Phi(y) = \frac{2}{\sqrt{\pi}} \exp(-y^2) \cdot \sum_{k=0}^{\infty} \frac{2^k}{(2k+1)!!} \cdot y^{2k+1}, \quad (P1-1)$$

$$\Phi(y) \approx 1 - \left[1 + \sum_{k=1}^5 \alpha_k \cdot y^k \right]^{-8}, \quad (P1-2)$$

где $\alpha_1 = 0,14112821, \quad \alpha_4 = -0,00039446$
 $\alpha_2 = 0,08864027, \quad \alpha_5 = -0,00328975$
 $\alpha_3 = 0,02743349,$

Выражение (P1-2) аппроксимирует функцию $\Phi(y)$ во всей области ее определения с точностью лучшеей чем 2×10^{-8} .

а) Линейное приближение, определяющее сдвиги частот малых колебаний ($x, z \ll 1, \alpha = \tilde{b}_x / \tilde{b}_z$):

$$f_{xz} \approx 8 \cdot \frac{\tilde{b}_x + \tilde{b}_z}{\tilde{b}_x \tilde{b}_z} \int_0^{\pi} \left\{ \frac{\cos \varphi}{\sin \varphi} \right\} \cdot \frac{x \cdot \cos \varphi + \alpha^2 \cdot z \cdot \sin \varphi}{\cos^2 \varphi + \alpha^2 \cdot \sin^2 \varphi} d\varphi,$$

$$f_x \approx 4\pi x / \tilde{b}_x, \quad f_z \approx 4\pi z / \tilde{b}_z. \quad (P1-3)$$

б) Круглый пучок $\tilde{b}_x = \tilde{b}_z = \tilde{b}$. Вдоль оси x ($z \equiv 0$) имеем:

$$f_x(x) = 8\sqrt{2\pi} \cdot \exp\left(-\frac{x^2}{2\tilde{b}^2}\right) \cdot \sum_{k=0}^{\infty} \frac{2^k}{(2k+1)!!} \cdot \left(\frac{x}{\sqrt{2}\cdot\tilde{b}}\right)^{2k+1} \times \int_0^{\pi} (\cos \varphi)^{2k+2} d\varphi = 8\pi \cdot \frac{6}{x} \cdot \left[1 - \exp\left(-\frac{x^2}{2\tilde{b}^2}\right) \right].$$

Для произвольной точки:

$$f_{xz}(x, z) = \frac{8\pi\tilde{b}}{x^2+z^2} \cdot \frac{x}{z} \cdot \left[1 - \exp\left(-\frac{x^2+z^2}{2\tilde{b}^2}\right) \right]. \quad (P1-4)$$

В силу (P1-4) потенциал круглого пучка равен:

$$U = -4\pi\tilde{b} \left[C + \ln \frac{x^2+z^2}{2\tilde{b}^2} - Ei\left(-\frac{x^2+z^2}{2\tilde{b}^2}\right) \right], \quad (P1-5)$$

здесь $C = 0,577215665$ – постоянная Эйлера,
 $Ei(y)$ – интегральная показательная функция.

в) Ленточный пучок $\tilde{b}_z = \tilde{b}, \tilde{b}_x \rightarrow \infty$:

$$f_z(z) = (2\pi)^{3/2} \cdot \Phi\left(\frac{z}{\sqrt{2}\cdot\tilde{b}}\right). \quad (P1-6)$$

г) Максимальное значение подинтеграла в формуле (6) имеет место при $\varphi = \arctg(z/x)$. Окрестность этой точки (для $\alpha \gg 1$ чрезвычайно узкая) дает основной вклад в величины f_{xz} . Это обстоятельство необходимо учитывать при численном интегрировании (6).

Приложение П.

Оценка точности приближенных значений f_{xz} .

Для определения относительных погрешностей формул (7), (8) вычисленные по ним значения f_{xz} сравнивались с "точными", т.е. найденными с помощью интегралов (6) в пределах области ($x/\tilde{b}_x \leq 10; z/\tilde{b}_z \leq 10$). Результаты сведены в таблицы, где обозначено:

$\langle \delta \rangle$ – среднее по всей области отклонение в процентах;

δ_{max} – максимальное относительное отклонение в процентах, для которого указаны координаты, точное f_{pr} и приближенное f_{np} значения.

ЛИТЕРАТУРА

Таблица 1

α	$\langle \delta_x \rangle$	$\delta_{x,\max}$	$x/6_x$	$z/6_z$	$f_{x,T}$	$f_{x,pr}$
1.0	2.1	5.2	0.6	0.3	6.75	6.40
2.0	2.4	12.5	0.1	2.4	0.63	0.55
2.5	2.6	16.5	1.2	0.0	10.1	11.8
3.0	3.1	21.3	1.0	0.0	9.49	11.5
4.0	4.4	30.6	0.9	0.0	8.93	11.7
5.0	4.8	32.3	0.9	0.0	8.89	11.8

Таблица П.

α	$\langle \delta_z \rangle$	$\delta_{z,\max}$	$x/6_x$	$z/6_z$	$f_{z,T}$	$f_{z,pr}$
1.0	2.1	5.2	0.3	0.6	6.75	6.40
2.0	3.5	11.8	2.5	0.4	0.93	0.82
2.5	4.2	16.7	0.0	1.5	12.3	14.3
3.0	4.7	21.3	0.0	1.5	12.4	15.1
4.0	5.8	28.5	2.0	0.4	1.14	0.81
5.0	7.0	34.3	2.0	0.5	1.29	0.85

1. M. Month, J.C. Herrera (Editors), "Nonlinear Dynamics and Beam-Beam Interaction", Brookhaven Nat. Lab., 1979.
2. E. Keil, "Nonlinear Space Charge Effects", CERN/ISR-TH/72-7.
3. И.Б. Вассерман, Ф.М. Израйлев, Г.М. Тумайкин. "Критерий стохастичности при взаимодействии встречных пучков на основном резонансе связи". Препринт ИЯФ СО АН СССР № 79-74, Новосибирск.
4. И.Б. Вассерман и др. "Изучение стохастических эффектов при взаимодействии встречных пучков", Труды X междунар. конфер. по ускорителям заряженных частиц высоких энергий", Серпухов, 1977.
5. В.Пановский, М.Филипс. "Классическая электродинамика", Москва, 1963.
6. И.С.Градштейн, И.М.Рыжик. "Таблицы интегралов, сумм, рядов и произведений", Москва, 1962.
7. Я.С.Дымарский и др. "Справочник программиста, т.1", Ленинград, 1963.
8. B.V. Chirikov, "A Universal Instability of Many-Dimensional Oscillator Systems", Phys. Rep. 52, N5, 1979.
9. Г.Брук. "Циклические ускорители заряженных частиц", Атомиздат, Москва, 1970.